

## TI1012: แท็งก์จ่ายน้ำระบบอัตโนมัติอัตราการไหลคงที่ AUTOMATIC CONSTANT FLOW TANK

สิริอร ขอบธรรม, ศักดิ์ธนิทร์ พลอยประเสริฐ, ชุมพันธุ์ ชมภูจันทร์\*

ภาควิชาวิศวกรรมชลประทาน คณะวิศวกรรมศาสตร์ กำแพงแสน มหาวิทยาลัยเกษตรศาสตร์ วิทยาเขตกำแพงแสน

### บทคัดย่อ

งานวิจัยนี้ได้ออกแบบแท็งก์จ่ายน้ำระบบอัตโนมัติอัตราการไหลคงที่ โดยการติดตั้งอุปกรณ์เพิ่มเติมที่สามารถควบคุมให้เออน้ำมีค่าคงที่ รวมทั้งคำนวณอัตราการจ่ายน้ำและทดสอบการใช้งานเบรียบเทียบกับแท็งก์จ่ายน้ำที่ใช้งานทั่วไป การคำนวณอัตราการจ่ายน้ำจากแท็งก์ฯ ใช้สมการของ Hazen – William และคำนวนค่าการสูญเสียheadภายในท่อ โดยใช้สมการของ Darcy-Weisbach ร่วมกับสมการของ Bernoulli ผลการคำนวณอัตราการไหลที่ระดับผลต่างของเออน้ำ 0.05 – 0.35 เมตร มีค่าระหว่าง 30.2 – 67.6 ml/s ในขณะที่ผลการตรวจวัดมีค่าระหว่าง 31.2 – 66.2 ml/s และมีค่าสัมประสิทธิ์สัมพันธ์เท่ากับ 0.99 นอกจากนี้ อัตราการจ่ายน้ำจากแท็งก์ฯ สูงสุดมีค่าค่อนข้างสม่ำเสมอ เฉลี่ย 69.36 ml/s โดยไม่ลดลงตามระดับน้ำในแท็งก์ รวมทั้งสามารถจ่ายน้ำในปริมาตรที่มากกว่าแท็งก์จ่ายน้ำที่ใช้งานทั่วไป ประมาณ 16% ในระยะเวลาเท่ากัน ซึ่งหมายความว่าเป็นต้นแบบในการนำไปประยุกต์ใช้งานกับลักษณะงานที่ต้องการควบคุมอัตราการไหลของน้ำให้สม่ำเสมอ อาทิ การให้น้ำพืชในระบบน้ำหยด การจ่ายน้ำจากแท็งก์น้ำตามที่พักอาศัยหรือตึกสูง เป็นต้น

คำสำคัญ : แท็งก์น้ำ, การควบคุมอัตราการไหลคงที่

### Abstract

This study was invented the Automatic Constant Flow Tank (ACF Tank). The control constant head of water equipment was installed and then the flow rate of ACF Tank was calculated, measured and compared with the general tank. The flow rate was determined using the Hazen – William's equation as well as the head loss in the pipe using the Darcy-Weisbach's equation with the Bernoulli's equation. The results showed that the calculated flow rate, at the level of water head varies from 0.05 to 0.35 meters, were 30.2 - 67.6 ml/s, while the measured flow rate were 31.2 - 66.2 ml/s with a correlation coefficient of 0.99. Moreover, the maximum average flow rate of ACF tank was 69.36 ml/s and also was quite steady flow (not varied by the water level). In addition, in the same measured period, the ACF Tank was able to provide more water volume 16% than the general tank. This prototype was appropriate with the constant flow rate application such as micro-irrigation, the water tank on the rooftop of buildings, etc.

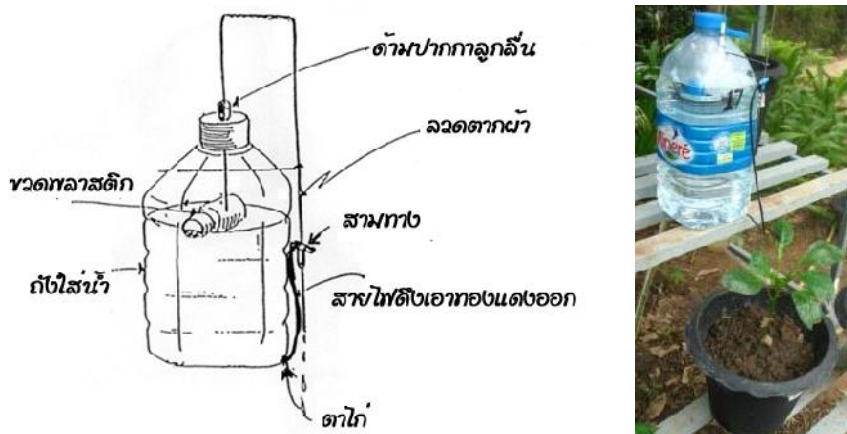
**Keyword :** Water Tank, Constant Flow Control

---

### บทนำ

การใช้งานแท็งก์กักเก็บน้ำที่พับเห็นโดยทั่วไปในปัจจุบัน โดยเฉพาะกรณีจ่ายน้ำด้วยแรงโน้มถ่วงส่วนใหญ่นิยมติดตั้งแท็งก์น้ำให้อยู่สูงกว่าระดับพื้นดินเพื่อเพิ่มแรงดันน้ำ (เออน้ำ) โดยมีการติดตั้งสวิตช์ลูกloy เพื่อควบคุมให้ปั๊มน้ำสูบน้ำเติมเข้ามายังในแท็งก์กักเก็บน้ำในกรณีที่น้ำในแท็งก์ลดต่ำลง วิธีดังกล่าวมีประโยชน์คือปั๊มน้ำไม่จำเป็นต้องทำงานตลอดทุกครั้งที่มีการเปิดใช้น้ำ (กรณีเป็นปั๊มน้ำแบบอัตโนมัติ) โดยจะทำงานเมื่อเติมน้ำเข้าสู่แท็งก์กักเก็บน้ำเท่านั้น อย่างไรก็ตามการจ่ายน้ำจากแท็งก์กักเก็บน้ำด้วยวิธีดังกล่าวจะมีอัตราการไหลไม่คงที่ ทั้งนี้เนื่องจากเมื่อมีการจ่ายน้ำออกจากการจ่ายน้ำจากแท็งก์ ระดับน้ำในแท็งก์ที่ลดลงจะทำให้แรงดันน้ำลดลงและทำให้อัตราการไหลลดลงตามไปด้วยกรณีอาคารชุดที่พักอาศัยหลายชั้นที่มีการติดตั้งแท็งก์กักเก็บน้ำบนชั้นดาดฟ้าและใช้การส่งน้ำด้วยวิธีดังกล่าวจึงมักจะพบปัญหาเรื่องห้องพักชั้นบนจะมีแรงดันน้ำค่อนข้างต่ำกว่าห้องพักชั้นล่าง ซึ่งวิธีแก้ไขปัญหาดังกล่าวมีหลากหลาย ด้วยกัน อาทิ ยกแท็งก์น้ำให้อยู่ในระดับสูงกว่าพื้นคาดฟ้าขึ้นไปอีกเพื่อเพิ่มแรงดันน้ำ หรือติดตั้งปั๊มอัตโนมัติบนชั้นดาดฟ้าเพื่ออีกด้วยเพื่อเพิ่มแรงดันน้ำให้เพียงพอสำหรับจ่ายน้ำแก่ห้องพักชั้นบน

จากปัญหาดังกล่าว คณะผู้วิจัยได้จึงดำเนินการออกแบบและทดสอบการใช้งานเบรียบเทียบกับแท็งก์จ่ายน้ำที่ใช้งานทั่วไป โดยดัดแปลงมาจาก “กระป๋องน้ำหยด” ซึ่งเป็นถังจ่ายน้ำหยดขนาดเล็กเพื่อใช้ในการให้น้ำแก่พืช เป็นสิ่งประดิษฐ์ที่คิดค้นโดย รศ.มนตรี คำชัย (อดีตอาจารย์ประจำภาควิชาวิศวกรรมชลประทาน คณะวิศวกรรมศาสตร์กำแพงแสน) อุปกรณ์ดังกล่าวประดิษฐ์ขึ้นจากวัสดุเหลือใช้และวัสดุที่สามารถหาซื้อทั่วไปได้ตามท้องตลาด ดังแสดงในภาพที่ 1 สามารถปรับอัตราการจ่ายน้ำได้ตามต้องการโดยอัตราการไหลจะคงที่ตลอดช่วงการให้น้ำเนื่องจากมีเกลไกการทำงานที่สามารถควบคุมยอดของน้ำให้คงที่



ภาพที่ 1 ถังจ่ายน้ำหยดขนาดเล็ก  
ที่มา : มนตรี (2555)

### อุปกรณ์และวิธีการทดลอง

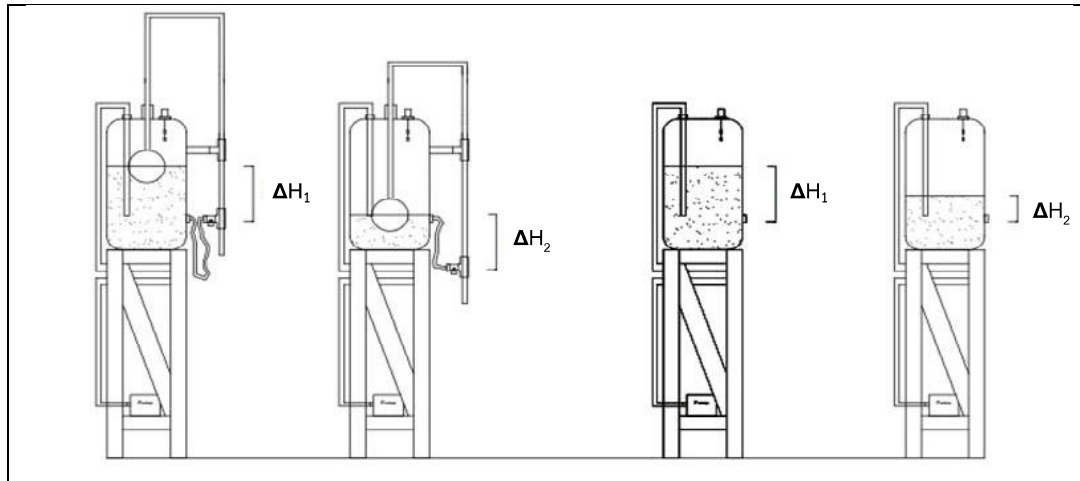
#### 1. อุปกรณ์และหลักการทำงาน

แท็งก์จ่ายน้ำระบบอัตโนมัติอัตราการไหลคงที่ ใช้ถังน้ำพลาสติกขนาด 200 ลิตรจัดทำเป็นแท็งก์เก็บน้ำร่วมกับวัสดุอุปกรณ์ต่างๆ ประกอบกันดังแสดงในภาพที่ 2 ดังนี้



ภาพที่ 2 อุปกรณ์ประกอบแท็งก์จ่ายน้ำระบบอัตโนมัติอัตราการไหลคงที่

หลักการทำงานของแท็งก์จ่ายน้ำอัตราการไหลคงที่ โดยการใช้ลูกloyขนาดใหญ่ (จุดที่ 1) เพื่อช่วยในการพยุงแกน (จุดที่ 3) ให้ขึ้นลงตามระดับน้ำ รวมทั้งยังสามารถควบคุมอัตราการไหลในปริมาณที่ต้องการได้โดยการขยับตำแหน่งของหัวจ่ายน้ำ (จุดที่ 5) เพื่อให้เกิดผลต่างของเหดหัว ( $\Delta H$ ) ระหว่างระดับผิวน้ำกับจุดปล่อยน้ำ จะเห็นได้จากภาพการทำงาน ตั้งแสดงในภาพที่ 3 เมื่อเวลาเริ่มต้น เหดของน้ำมีค่า  $\Delta H_1$  และเมื่อเวลาผ่านไประดับน้ำในแท็งก์จะลดลงแต่เหดของน้ำ ( $\Delta H_2$ ) จะไม่เปลี่ยนแปลง ( $\Delta H_2 = \Delta H_1$ ) เนื่องจากจุดทางออกของน้ำตรงหัวจ่ายน้ำลูกloyติดกับแกนควบคุมเหดน้ำ (จุดที่ 3) ซึ่งแกนดังกล่าวลูกloyในแท็งก์จึงสามารถเคลื่อนที่ขึ้นลงได้ตามระดับน้ำ จะทำให้เหดของน้ำคงที่และทำให้อัตราการไหลคงที่ด้วย เปรียบเทียบกับกรณีแท็งก์น้ำทั่วไปที่ใช้งาน พบร่วม เมื่อระยะเวลาผ่านไประดับน้ำลดลงเหดของน้ำก็ลดลงตามไปด้วย ( $\Delta H_2 < \Delta H_1$ )



แท็งก์จ่ายน้ำอัตราการไหลคงที่  
( $\Delta H_2 = \Delta H_1$ )

แท็งก์จ่ายน้ำที่ใช้งานทั่วไป  
( $\Delta H_2 < \Delta H_1$ )

### ภาพที่ 3 เปรียบเทียบทักษะการทำงานของแท็งก์จ่ายน้ำทั้ง 2 แบบ

สำหรับท่อที่เชื่อมต่อระหว่างตัวแท็งก์เก็บน้ำกับชุดหัวจ่ายน้ำ (จุดที่ 5) ซึ่งใช้ปั๊มน้ำออกจากแท็งก์จ่ายน้ำ อัตราการไหลคงที่ ควรเป็นวัสดุที่มีความอ่อนตัวสามารถโค้งงอได้เมื่อต้องมีการปรับระดับ  $\Delta H$  ในที่นี้ได้เลือกใช้ท่อยางสังเคราะห์ EPDM หุ้มสแตนเลส ขนาดเส้นผ่านศูนย์กลางภายใน 1 เซนติเมตร นอกจากนี้ มีการติดตั้งสวิทช์ลูกloyไฟฟ้า (จุดที่ 4) เมื่อน้ำในแท็งก์เก็บน้ำหมด สวิทช์ลูกloyจะทำงานโดยสั่งให้ปั๊มน้ำ (จุดที่ 6) สูบน้ำไปตามท่อส่งน้ำ (จุดที่ 2) ขึ้นสู่แท็งก์น้ำโดยอัตโนมัติ เมื่อน้ำเต็มแท็งก์น้ำแล้วสวิทช์ลูกloyจะสั่งให้ปั๊มน้ำหยุดทำงาน

## 2. วิธีการทดลอง

### 2.1) คำนวณอัตราการจ่ายน้ำจากแท็งก์ โดยใช้สมการของ Hazen – William ดังนี้

$$Q = \left( 3.587 \times 10^{-6} \right) \times C \times D^{2.63} \times S^{0.54}$$

โดย  $Q = \text{อัตราการไหล, } m^3/\text{s}$

$S = \text{การสูญเสียเหดเนื่องจากความผิดต่อหนึ่งหน่วยความยาวของท่อ} = hf/L$

$D = \text{เส้นผ่าศูนย์กลางของท่อ, mm}$

$C = \text{สัมประสิทธิ์ความเสียดทานภายในท่อ}$

สำหรับการคำนวณค่าการสูญเสียเหดภายในท่อ (Head Loss,  $hf$ ) ใช้สมการของ Darcy-Weisbach ร่วมกับสมการของ Bernoulli ดังนี้

$$\text{สมการ Bernoulli} \quad \frac{P_1}{\gamma} + \frac{V^2}{2g} + Z_1 = \frac{P_2}{\gamma} + \frac{V^2}{2g} + Z_2 + \Sigma h_f$$

โดย  $P$  = แรงดันในเส้นท่อ,  $\text{kg/cm}^2$

$\gamma$  = น้ำหนักจำเพาะของน้ำ,  $\text{N/m}^3$

$V$  = ความเร็วของ流体,  $\text{m/s}$

$g$  = ความเร่งเนื่องจากแรงโน้มถ่วงของโลก =  $9.81 \text{ m/s}^2$

$Z$  = ค่าระดับความสูง,  $\text{m}$

$\Sigma h_f$  = ผลรวมของการสูญเสียheadของน้ำ (Head Loss),  $\text{m}$

สำหรับผลรวมการสูญเสียheadของน้ำ ( $\Sigma h_f$ ) หมายถึงการสูญเสียพลังงานหลัก (Major Loss) ในเส้นท่อและ การสูญเสียพลังงานรอง (Minor Loss) ตามสมการของ Darcy-Weisbach ดังนี้

$$\text{Major Loss} \quad H_f = f \left( \frac{L}{D} \right) \left( \frac{V^2}{2g} \right)$$

โดย  $f$  = สัมประสิทธิ์ความเสียดทาน (Friction Factor)

$L$  = ความยาวท่อ

$D$  = เส้นผ่าศูนย์กลางของท่อ

$V$  = ความเร็วของการไหลเฉลี่ยผ่านท่อ

$g$  = ความเร่งเนื่องจากแรงโน้มถ่วงของโลก =  $9.81 \text{ m/s}^2$

สำหรับสัมประสิทธิ์ความเสียดทาน ( $f$ ) คำนวณได้จากการไหลในแบบราบเรียบ (Laminar Flow) และการไหลในแบบปั่นป่วน (Turbulence Flow) แต่สำหรับการไหลในท่อของแท็งก์จ่ายน้ำยัตราชาราภัยหลอดที่ จะสมมติให้ เป็นการไหลแบบราบเรียบเนื่องจากเป็นท่อที่มีขนาดเล็ก ค่า  $f$  คำนวณได้ดังนี้

$$f = \frac{64}{Re} \quad \text{โดย } Re = \frac{VD}{v}$$

โดย  $D$  = เส้นผ่าศูนย์กลางท่อ

$V$  = ความเร็วของการไหลเฉลี่ยผ่านท่อ,  $\text{m/s}$

$v$  = ความหนืด ที่อุณหภูมิ  $20^\circ\text{C}$  =  $10^{-6} \text{ m}^2/\text{s}$

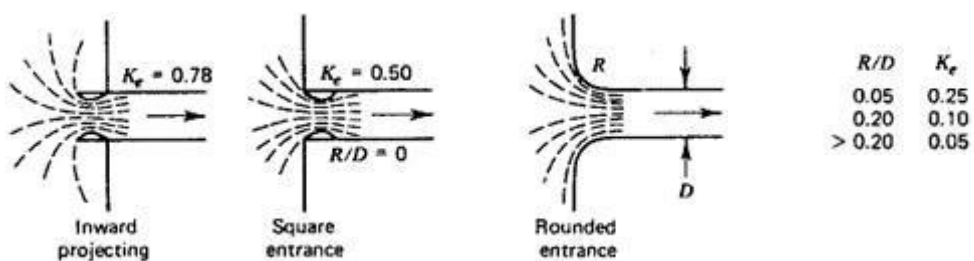
สำหรับการสูญเสียพลังงานรอง (Minor Loss) คำนวณได้ดังนี้

$$\text{Major Loss} \quad H_m = K_e \frac{V^2}{2g}$$

โดย  $V$  = ความเร็วของการไหลเฉลี่ยผ่านท่อ,  $\text{m/s}$

$g$  = ความเร่งเนื่องจากแรงโน้มถ่วงของโลก =  $9.81 \text{ m/s}^2$

$K_e$  = สัมประสิทธิ์ของ Minor Loss ขึ้นอยู่กับชนิดของ Minor Loss ได้แก่ Exit Loss และ Entrance Loss ในที่นี้ Exit Loss มีค่าเท่ากับ 1.0 ในทุกรูปแบบ โดยไม่ขึ้นกับลักษณะของรูปร่างทางออก ส่วน Entrance Loss ขึ้นอยู่กับลักษณะของรูปร่างทางเข้าเป็นหลัก ดังแสดงในภาพที่ 4 โดยในที่นี้มีค่าเท่ากับ 0.5



ภาพที่ 4 สัมประสิทธิ์ของ Entrance Loss  
(ที่มา : David Rausch et.al, 1993)

สำหรับผลการคำนวนหาอัตราการไหล ได้นำมาเปรียบเทียบกับผลการตรวจวัดอัตราการไหลของน้ำในแท่งก่อโดยวิธีการหาปริมาตรต่อเวลา (Volumetric method) ที่ระดับ  $\Delta H$  เท่ากับ 0.05, 0.10, 0.15, 0.20, 0.25, 0.30 และ 0.35 เมตร

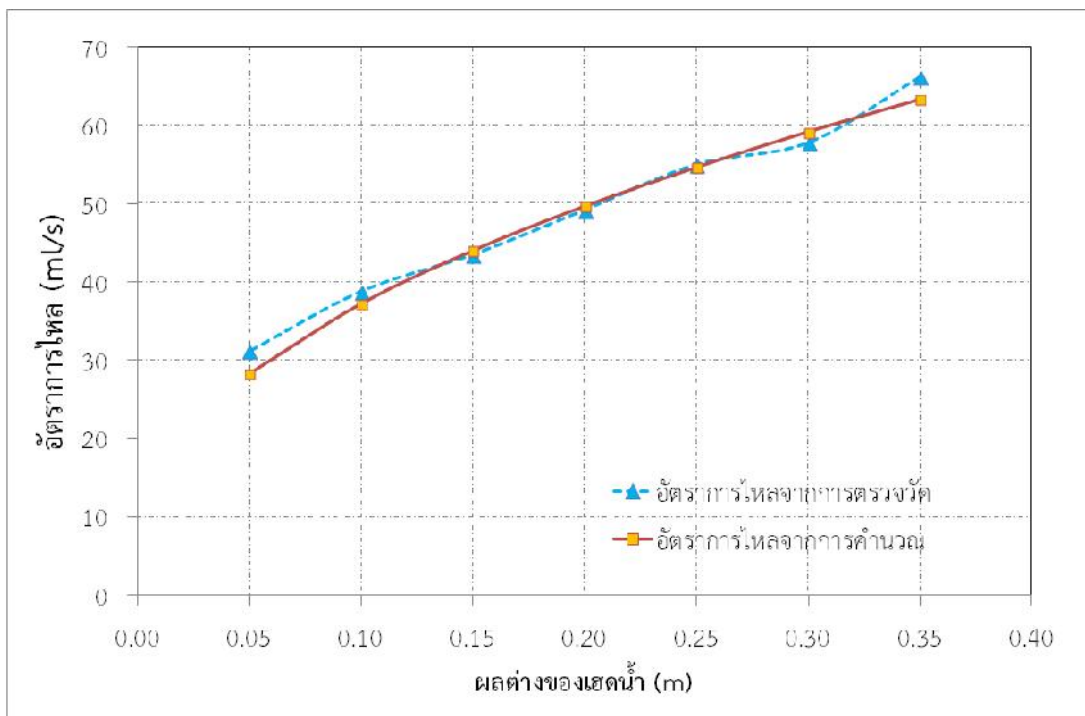
2.2) ทดลองเปรียบเทียบอัตราการไหลระหว่างแท่งก่อจ่ายน้ำฯ อัตราการไหลคงที่กับแท่งก่อจ่ายน้ำที่ใช้งานทั่วไป โดยการตั้งค่าผลต่างของระดับน้ำในแท่งกับระดับของจุดทางออกของน้ำ ณ ช่วงเวลาเริ่มต้น ( $\Delta H_1$ ) ของแท่งก่อทั้งสองแบบให้เท่ากัน จากนั้นจึงตรวจวัดอัตราการไหลด้วยวิธีการหาปริมาตรต่อเวลา

#### ผลการทดลอง

##### 1. การคำนวนอัตราการไหลของแท่งก่อจ่ายน้ำฯ อัตราการไหลคงที่

ในการคำนวนอัตราการไหลตามสมการของ Hazen – Willian ค่าสัมประสิทธิ์ความเสียดทานภายในท่อ (ค่า C) เป็นปริมาณที่ไม่มีหน่วย เป็นพารามิเตอร์ที่บ่งชี้ถึงความขุรุระสัมพัทธ์ของพื้นผิวด้านในของท่อน้ำโดยที่ค่า C ที่สูงจะเป็นตัวแทนของท่อที่มีความเรียบมากและค่า C ที่ต่ำจะเป็นตัวแทนของท่อที่มีความขุรุระมาก (ประกอบ, 2553) สำหรับท่อชนิดใดชนิดหนึ่งจะมีค่า C คงที่ ซึ่งสามารถเลือกใช้งานได้จากการคำนวณฐานหรือจากคู่มือแสดงคุณสมบัติของท่อชนิดต่างๆ โดยทั่วไปมีค่าประมาณ 120 - 150 สำหรับท่อใหม่ แต่เมื่อท่อน้ำมีอายุการใช้งานเพิ่มขึ้น ค่า C ก็จะลดลงเรื่อยๆ ในกราฟแบบทั่วไปเมื่อต้องการอัตราการไหลของน้ำในท่อเก่ามักนิยมใช้  $C = 100$  โดยเฉพาะอย่างยิ่งในกรณีที่เป็นท่อเหล็กหล่อ และถ้าเป็นท่อขนาดเล็กค่า C อาจจะลดลงเหลือเพียง 60 - 80 (วิบูลย์, 2529)

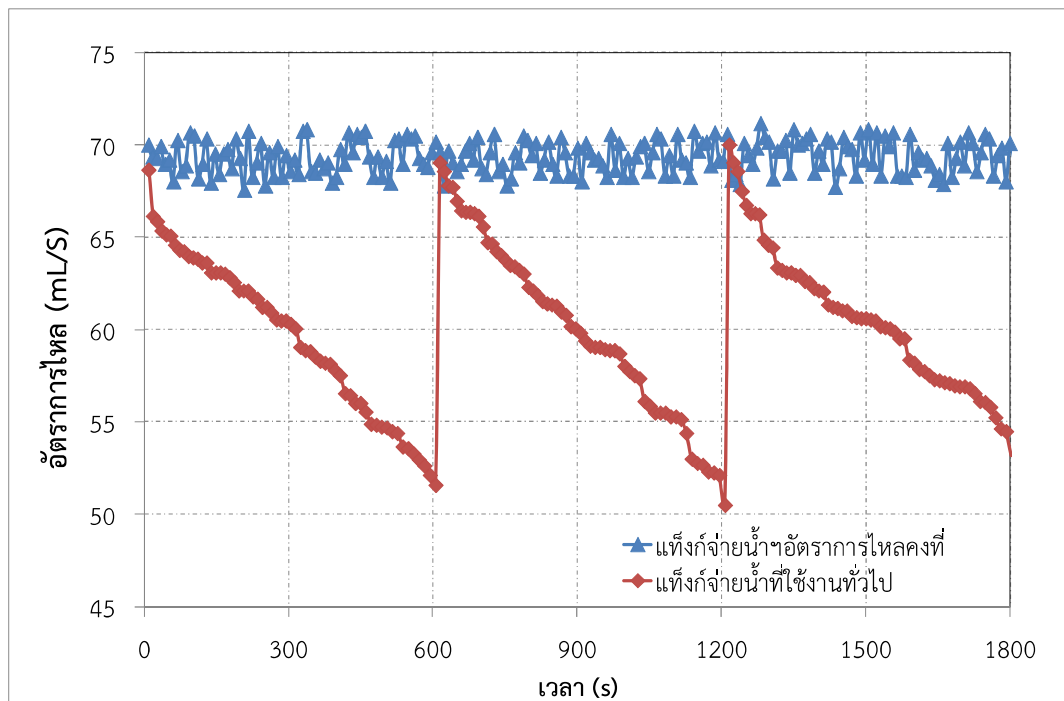
อย่างไรก็ตามสำหรับห่อที่ใช้งานในงานวิจัยนี้ไม่เป็นท่อตามมาตรฐานที่ใช้งานโดยทั่วไป จึงไม่มีค่า C ให้เลือกใช้งาน ดังนั้นจึงได้ประเมินค่าสัมประสิทธิ์ความเสียดทานโดยการสุ่มค่าแล้วนำไปเปรียบเทียบกับผลการตรวจวัดอัตราการไหล โดยพบว่า เมื่อเลือกใช้ค่าสัมประสิทธิ์ความเสียดทานภายในห่อ เท่ากับ 75 ให้ผลการคำนวนมีค่าใกล้เคียงกับการตรวจวัดมากที่สุด ดังแสดงในภาพที่ 5 โดยผลการคำนวนอัตราการไหลมีค่าระหว่าง 30.2 – 67.6 ml/s ในขณะที่ผลการตรวจอัดมีค่าระหว่าง 31.2 – 66.2 ml/s และมีค่าสัมประสิทธิ์สหสัมพันธ์ (Correlation coefficient) เท่ากับ 0.99



ภาพที่ 5 อัตราการไหลจากการตรวจวัดเปรียบกับอัตราการไหลที่คำนวณ

## 2. การเปรียบเทียบอัตราการไหลระหว่างแท้จริงกับอัตราการไหลคงที่กับแท้จริงที่ใช้งานทั่วไป

จากการทดลองตรวจวัดอัตราการไหลที่ระดับ  $\Delta H$  สูงสุดของแท้จริงทั้งสองแบบ ซึ่งมีอัตราการไหลสูงสุดอยู่ที่ประมาณ 70 ml/s ผลการตรวจวัดดังแสดงในภาพที่ 6 พบว่า ตลอดระยะเวลาจ่ายน้ำทั้ง 30 นาที แท้จริงจ่ายน้ำ อัตราการไหลคงที่มีอัตราการไหลอยู่ในช่วงระหว่าง 67.57-71.17 ml/s (เฉลี่ย 69.36 ml/s) เมื่อเปรียบเทียบกับแท้จริงที่จ่ายน้ำที่ใช้งานทั่วไปพบว่าอัตราการไหลจะลดลงตามระยะเวลาจนเหลือเพียงประมาณ 50 ml/s ที่ระยะเวลาประมาณ 10, 20 และ 30 นาที ซึ่ง ณ ช่วงเวลาดังกล่าว ระดับน้ำในแท้จริงลดต่ำลงจนถึงจุดที่สวิตช์ลูกกลอยไฟฟ้าทำงานทำให้มีมีเริ่มสูบน้ำเต็มเข้าไปในแท้จริง ทำให้ระดับน้ำเพิ่มขึ้นและเมื่อน้ำเต็มแท้จริง อัตราการไหลก็เพิ่มกลับขึ้นมาอยู่ในระดับสูงสุดอีกครั้งและค่อยๆ ลดลงตามเวลาเมื่อจ่ายน้ำออกจากแท้จริงต่อเนื่องกันไป นอกเหนือจากนี้ เมื่อคำนวณปริมาตรน้ำที่ระยะเวลาประมาณ 10, 20 และ 30 นาที แท้จริงจ่ายน้ำอัตราการไหลคงที่สามารถจ่ายน้ำได้ 42.58, 83.18 และ 124.85 ลิตร ตามลำดับ ในขณะที่แท้จริงจ่ายน้ำที่ใช้งานทั่วไปสามารถจ่ายน้ำได้เพียง 35.71, 71.63 และ 107.85 ลิตร ตามลำดับ



ภาพที่ 6 อัตราการไหลจากการตรวจวัดเปรียบกับระหว่างแท๊งก์จ่ายน้ำ 2 แบบ

#### สรุปและข้อเสนอแนะ

จากการออกแบบและการทดลองตรวจวัดอัตราการไหลจากแท๊งก์จ่ายน้ำ อัตราการไหลคงที่ พบว่า เมื่อเลือกใช้หัวส่งน้ำที่ไม่เป็นหัวตามมาตรฐาน ทำให้มีมีค่าสัมประสิทธิ์ความเสียดทานภายในหัว (ค่า C) ให้เลือกใช้งานดังนั้นการคำนวณค่า C จึงต้องใช้วิธีการสุ่มค่า ซึ่งพบว่ามีค่าเท่ากับ 75 ทำให้ผลการคำนวณอัตราการไหลใกล้เคียงกับผลการตรวจวัดมากที่สุด และลดคล่องกับข้อเสนอแนะของ วิญญาลัย (2529) โดยค่า C จะมีค่าระหว่าง 60 – 80 สำหรับกรณีท่อขนาดเล็ก อย่างไรก็ตามการที่ขนาดท่อเล็กจะทำให้เกิดการสูญเสียเขต (Head loss) มาก (มนต์เทพ, 2547) ซึ่งจากการคำนวณที่ระดับ  $\Delta H$  ระหว่าง 0.05 – 0.35 เมตร มีค่าการสูญเสียเขตระหว่าง 0.075 – 0.333 เมตร ดังนั้นในการปรับปรุงเพื่อใช้งานแท๊งก์น้ำให้มีประสิทธิภาพมากยิ่งขึ้นจึงควรพิจารณาเลือกวัสดุที่จะใช้เป็นหัวจ่ายน้ำ ออกจากแท๊งก์ที่เหมาะสมสมต่อไป

นอกจากนี้จากการตรวจวัดอัตราการไหลจากแท๊งก์จ่ายน้ำ อัตราการไหลคงที่ มีค่าค่อนข้างสม่ำเสมอ เฉลี่ย 69.36 ml/s โดยไม่ลดลงตามระดับน้ำในแท๊งก์ รวมทั้งสามารถจ่ายน้ำในปริมาตรที่มากกว่าแท๊งก์จ่ายน้ำที่ใช้งานทั่วไปประมาณ 16% ซึ่งหมายความว่าหัวน้ำที่ใช้งานกับลักษณะงานที่ต้องการควบคุมอัตราการไหลของน้ำให้สม่ำเสมอ อาทิ การให้น้ำพืชในระบบบ้านน้ำหมุน การจ่ายน้ำจากแท๊งก์น้ำตามที่พักอาศัยหรือตึกสูง เป็นต้น อย่างไรก็ตาม จะสังเกตว่าอัตราการไหลจากแท๊งก์จ่ายน้ำอัตราการไหลคงที่ มีค่าแปรผันขึ้นลงเล็กน้อยซึ่งเป็นผลมาจากการขับตัวขึ้นลงของแกนควบคุมhead น้ำที่ยึดติดกับลูกloyoy ซึ่งมีความผิด ทำให้ลูกloyoy เกิดการแกร่งตัวในแท๊งก์ ดังนั้นสิ่งที่ควรปรับปรุงจากแท๊งก์ต้นแบบนี้ควรใช้แกนควบคุมที่มีความแข็งแรงและเป็นวัสดุที่มีผิวที่ลื่น เพื่อช่วยให้แกนมีความผิดน้อยที่สุดสามารถปรับตัวขึ้นลงตามระดับน้ำได้อย่างอิสระ

#### กิตติกรรมประกาศ

งานวิจัยนี้ได้รับการสนับสนุนทุนวิจัยจากคณะกรรมการวิศวกรรมศาสตร์ กำแพงแสน มหาวิทยาลัยเกษตรศาสตร์ ขอขอบคุณ คุณสุรพล เจริญชีพและ รศ.มนตรี คำชู ที่ให้คำปรึกษาในการออกแบบและให้แนวคิดในการจัดทำ และขอขอบคุณภาควิชาวิศวกรรมชลประทานที่ช่วยเหลือเรื่องอุปกรณ์และสถานที่ในการจัดทำ

## เอกสารอ้างอิง

- David Rausch, Donald L. Pfost and Larry W. Caldwell. (1993). *Design Criteria for Bottom-Withdrawal (Lake-Cleaning) Spillway*. Retrieved December 20, 2012 from <http://extension.missouri.edu/p/G1531>
- ประกอบ สุรัตนนารeson. (2553). เทคนิคการประเมิน NPSHA สำหรับการติดตั้งถังน้ำดับเพลิง. วิศวกรรมสาร มข., 23(72), 1-9.
- มนต์เทพ มะเปี้ยม. (2547). การพัฒนาแบบจำลองเพื่อออกแบบระบบห่อส่งน้ำ. วิทยานิพนธ์ปริญญาโท, มหาวิทยาลัยเกษตรศาสตร์.
- มนตรี คำชู. (2555). ระบบป้องน้ำหยดให้ปั๊มเมื่อถือแบบประโยชน์สูงสุดบรรยายสุด. สืบค้นเมื่อ 28 ธันวาคม 2555, สืบค้นจาก [http://www.rdi.ku.ac.th/Techno\\_ku60/res-86/index86.html](http://www.rdi.ku.ac.th/Techno_ku60/res-86/index86.html).
- วิบูลย์ บุญยิริโภกุล. (2529). ปั๊มและระบบสูบน้ำ. ภาควิชาวิศวกรรมชลประทาน คณะวิศวกรรมศาสตร์ มหาวิทยาลัยเกษตรศาสตร์, นครปฐม.

คณะผู้เขียน

สิริอร ขอบธรรม นิสิตปริญญาตรี ภาควิชาวิศวกรรมชลประทาน คณะวิศวกรรมศาสตร์ กำแพงแสน มหาวิทยาลัยเกษตรศาสตร์ วิทยาเขตกำแพงแสน อ.กำแพงแสน จ.นครปฐม 73140, [love\\_papang@hotmail.com](mailto:love_papang@hotmail.com)

ศักณรินทร์ พลอยประเสริฐ นิสิตปริญญาตรี ภาควิชาวิศวกรรมชลประทาน คณะวิศวกรรมศาสตร์ กำแพงแสน มหาวิทยาลัยเกษตรศาสตร์ วิทยาเขตกำแพงแสน อ.กำแพงแสน จ.นครปฐม 73140, [mintsaknarin@gmail.com](mailto:mintsaknarin@gmail.com)

ชูพันธุ์ ชุมภูจันทร์ อาจารย์ประจำภาควิชาวิศวกรรมชลประทาน คณะวิศวกรรมศาสตร์ กำแพงแสน มหาวิทยาลัยเกษตรศาสตร์ วิทยาเขตกำแพงแสน อ.กำแพงแสน จ.นครปฐม 73140, [fengcpcc@ku.ac.th](mailto:fengcpcc@ku.ac.th)